

# Sur la régularité des fractures fragiles en élasticité linéaire

---

Camille Labourie (collaboration avec Antoine Lemenant)

28 mai 2024

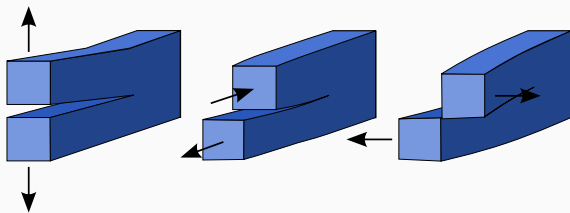
Université Paris-Saclay

# La fonctionnelle de Griffith

Soit  $\Omega \subset \mathbf{R}^N$  un ouvert borné. On minimise

$$\underbrace{\int_{\Omega \setminus K} \mathbf{C}e(u) : e(u) \, dx}_{\text{énergie élastique}} + \underbrace{\mathcal{H}^{N-1}(K)}_{\text{aire de la fracture}}, \quad \text{où } e(u) := \frac{\nabla u + \nabla u^T}{2},$$

parmi les paires  $(u, K)$  où  $K \subset \Omega$  (*fracture*) est un fermé de dimension  $N - 1$  et  $u : \Omega \setminus K \rightarrow \mathbf{R}^N$  (*champ de déplacement*) est une fonction lisse avec une condition de Dirichlet au bord  $\partial\Omega$ .



**Figure 1** : Ouverture, cisaillement plan, cisaillement anti-plan

## Comparaison avec la fonctionnelle de Mumford-Shah

Étant donné  $g \in L^\infty(\Omega)$ , la fonctionnelle de Mumford-Shah est

$$\int_{\Omega \setminus K} |\nabla u|^2 dx + \mathcal{H}^{N-1}(K) + \int_{\Omega} |u - g|^2 dx$$

où  $K \subset \Omega$  (*segmentation*) et  $u : \Omega \setminus K \rightarrow \mathbf{R}$  (*approximation lisse par morceaux*).

# Comparaison avec la fonctionnelle de Mumford-Shah

Étant donné  $g \in L^\infty(\Omega)$ , la fonctionnelle de Mumford-Shah est

$$\int_{\Omega \setminus K} |\nabla u|^2 dx + \mathcal{H}^{N-1}(K) + \int_{\Omega} |u - g|^2 dx$$

où  $K \subset \Omega$  (segmentation) et  $u : \Omega \setminus K \rightarrow \mathbf{R}$  (approximation lisse par morceaux).

## La fonctionnelle de Griffith pose plusieurs difficultés

1. Pas de contrôle sur toutes les dérivées  $\int_{B(x,r) \setminus K} |\nabla u|^2 dx$ .
2. Pas de contrôle sur les variations internes  $(u \circ \phi^{-1}, \phi(K))$ , où  $\phi$  est un difféomorphisme.
3. Pas de principe du maximum.
4. Pas d'analogue de la formule de la co-aire

$$\int_{-\infty}^{+\infty} \mathcal{H}^{N-1}((B(x,r) \setminus K) \cap \{u = t\}) dt = \int_{B(x,r) \setminus K} |\nabla u| dx.$$

- ☰ A. Griffith. **The phenomena of rupture and flow in solids.** Philos. Trans. R. Soc. London (1921).
- ☰ G. Francfort and J. J. Marigo. **Revisiting brittle fracture as an energy minimization problem.** J. Mech. Phys. Solids (1998).
- ☰ G. Dal Maso. **Generalized functions of bounded deformation.** JEMS (2013).
- ☰ A. Chambolle and V. Crismale. **Compactness and lower semicontinuity in GSBD.** JEMS (2021).
- ☰ A. Chambolle and V. Crismale. **Existence of strong solutions to the Dirichlet problem for the Griffith energy.** Calc. Var. PDE (2019).
- ☰ M. Friedrich, C. Labourie, K. Stinson. **On regularity for Griffith almost-minimizers in the plane.** Preprint (2023).

# Notion de minimiseur local

## Definition

Une paire  $(u, K)$  est un minimiseur local de Griffith dans  $\Omega$  si pour toute boule ouvert  $B \subset\subset \Omega$  et pour toute paire  $(v, L)$  avec

$$L \setminus B = K \setminus B \quad \text{et} \quad v = u \text{ dans } \Omega \setminus (B \cup K),$$

on a

$$\begin{aligned} \int_{B \setminus K} \mathbf{C}e(u) : e(u) \, dx + \mathcal{H}^{N-1}(K \cap B) \\ \leq \int_{B \setminus L} \mathbf{C}e(v) : e(v) \, dx + \mathcal{H}^{N-1}(L \cap B). \end{aligned}$$

## EDP associée à des variations externes

Soit  $(u, K)$  un minimiseur local de Griffith dans  $\Omega$ . En comparant  $(u, K)$  et

$$(u + \varepsilon\varphi, K), \quad \text{où } \varphi \in C_c^1(\Omega; \mathbf{R}^N),$$

on trouve que dans toute composante connexe  $V$  de  $\Omega \setminus K$ , la fonction  $u$  est solution faible de

$$\begin{cases} \operatorname{div}(e(u)) = 0 & \text{dans } V \\ e(u)\nu = 0 & \text{le long } \Omega \cap \partial V, \end{cases}$$

où  $\nu$  est un champ de vecteurs normal à  $\partial V$ .

## EDP associée à des variations externes

Soit  $(u, K)$  un minimiseur local de Griffith dans  $\Omega$ . En comparant  $(u, K)$  et

$$(u + \varepsilon\varphi, K), \quad \text{où } \varphi \in C_c^1(\Omega; \mathbf{R}^N),$$

on trouve que dans toute composante connexe  $V$  de  $\Omega \setminus K$ , la fonction  $u$  est solution faible de

$$\begin{cases} \operatorname{div}(e(u)) = 0 & \text{dans } V \\ e(u)\nu = 0 & \text{le long } \Omega \cap \partial V, \end{cases}$$

où  $\nu$  est un champ de vecteurs normal à  $\partial V$ .

**La régularité de  $K$  détermine la régularité de  $u$  au bord.**



## Homogénéité du problème

### Ahlfors-régularité (Conti, Focardi, Iurlano, Chambolle)

Soit  $(u, K)$  un minimiseur local de Griffith dans  $\Omega$ . Pour toute boule  $B(x, r) \subset \Omega$  avec  $x \in K$ ,

$$\mathcal{H}^{N-1}(K \cap B(x, r)) + \int_{B(x, r)} |e(u)|^2 dx \leq Cr^{N-1}$$
$$\mathcal{H}^{N-1}(K \cap B(x, r)) \geq C^{-1}r^{N-1}.$$

# Homogénéité du problème

## Ahlfors-régularité (Conti, Focardi, Iurlano, Chambolle)

Soit  $(u, K)$  un minimiseur local de Griffith dans  $\Omega$ . Pour toute boule  $B(x, r) \subset \Omega$  avec  $x \in K$ ,

$$\mathcal{H}^{N-1}(K \cap B(x, r)) + \int_{B(x, r)} |e(u)|^2 dx \leq Cr^{N-1}$$
$$\mathcal{H}^{N-1}(K \cap B(x, r)) \geq C^{-1}r^{N-1}.$$

## Remise à échelle

Si  $(u, K)$  est un minimiseur local dans  $B(x_0, r_0)$ , alors

$$\left( \frac{u(x_0 + r_0 \cdot)}{\sqrt{r_0}}, \frac{K - x_0}{r_0} \right) \text{ est un minimiseur local dans } B(0, 1).$$

# Homogénéité du problème

## Ahlfors-régularité (Conti, Focardi, Iurlano, Chambolle)

Soit  $(u, K)$  un minimiseur local de Griffith dans  $\Omega$ . Pour toute boule  $B(x, r) \subset \Omega$  avec  $x \in K$ ,

$$\mathcal{H}^{N-1}(K \cap B(x, r)) + \int_{B(x, r)} |e(u)|^2 dx \leq Cr^{N-1}$$
$$\mathcal{H}^{N-1}(K \cap B(x, r)) \geq C^{-1}r^{N-1}.$$

## Remise à échelle

Si  $(u, K)$  est un minimiseur local dans  $B(x_0, r_0)$ , alors

$$\left( \frac{u(x_0 + r_0 \cdot)}{\sqrt{r_0}}, \frac{K - x_0}{r_0} \right) \text{ est un minimiseur local dans } B(0, 1).$$

## Énergie élastique normalisée

$$\omega(x_0, r_0) := r_0^{1-N} \left( \int_{B(x_0, r_0) \setminus K} |e(u)|^2 dx \right).$$

# Homogénéité du problème

## Ahlfors-régularité (Conti, Focardi, Iurlano, Chambolle)

Soit  $(u, K)$  un minimiseur local de Griffith dans  $\Omega$ . Pour toute boule  $B(x, r) \subset \Omega$  avec  $x \in K$ ,

$$\mathcal{H}^{N-1}(K \cap B(x, r)) + \int_{B(x, r)} |e(u)|^2 dx \leq Cr^{N-1}$$
$$\mathcal{H}^{N-1}(K \cap B(x, r)) \geq C^{-1}r^{N-1}.$$

## Remise à échelle

Si  $(u, K)$  est un minimiseur local dans  $B(x_0, r_0)$ , alors

$$\left( \frac{u(x_0 + r_0 \cdot)}{\sqrt{r_0}}, \frac{K - x_0}{r_0} \right) \text{ est un minimiseur local dans } B(0, 1).$$

## $p$ -Énergie élastique normalisée

$$\omega_p(x_0, r_0) := r_0^{1-2N/p} \left( \int_{B(x_0, r_0) \setminus K} |e(u)|^p dx \right)^{\frac{2}{p}}.$$

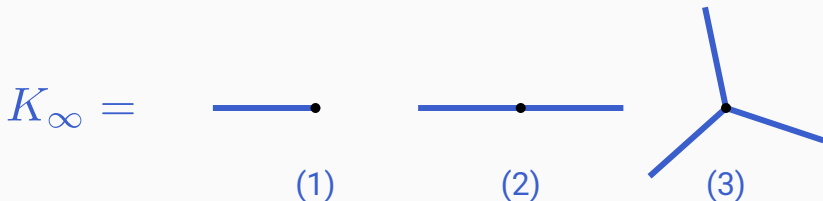
# Limites blow-up

## Theorem (L.-Lemenant)

Soit  $(u, K)$  un minimiseur de Griffith local dans  $\Omega \subset \mathbf{R}^N$  tel que  $0 \in K$ . A limite blow-up en 0 est une limite de la forme

$$(u_\infty, K_\infty) = \lim_{i \rightarrow +\infty} \left( \frac{u(r_i \cdot)}{\sqrt{r_i}}, \frac{K}{r_i} \right), \quad \text{où} \quad \lim_{i \rightarrow +\infty} r_i = 0.$$

Alors  $(u_\infty, K_\infty)$  est un minimiseur global de Griffith dans  $\mathbf{R}^N$  et si  $K_\infty$  est un cône dans  $\mathbf{R}^2$ , alors



Soit  $(u_i, K_i)$  une suite de paires dans  $\Omega_i \rightarrow \Omega$ .

## Definition

On dit que  $(u_i, K_i)_i \rightarrow (u, K)$  si

1.  $(K_i)_i \rightarrow K$  en distance de Hausdorff locale ;
2. pour toute composante connexe  $\mathcal{O}$  de  $\Omega \setminus K$ , il existe une suite de mouvements rigides  $(a_i)_i$  telle que pour tout compact  $H \subset \mathcal{O}$ ,

$$\lim_{i \rightarrow +\infty} \int_H |u_i - a_i - u|^2 dx = 0.$$

## Propriété de ce mode de convergence

Soit  $(u_i, K_i)$  une suite de paires dans  $\Omega_i \rightarrow \Omega$ .

### Compacité

Si  $\limsup_{i \rightarrow +\infty} \int_H |e(u_i)|^2 < +\infty$  pour tout compact  $H \subset \Omega$

alors  $(u_i, K_i)$  a une sous-suite convergence  $(u_j, K_j) \rightarrow (u, K)$ .

## Propriété de ce mode de convergence

Soit  $(u_i, K_i)$  une suite de paires dans  $\Omega_i \rightarrow \Omega$ .

### Compacité

Si  $\limsup_{i \rightarrow +\infty} \int_H |e(u_i)|^2 < +\infty$  pour tout compact  $H \subset \Omega$

alors  $(u_i, K_i)$  a une sous-suite convergence  $(u_j, K_j) \rightarrow (u, K)$ .

### Semi-continuité inférieure

Si  $(u_i, K_i)_i \rightarrow (u, K)$ , alors pour tout ouvert  $V \subset \Omega$  et  $p \in [1, \infty)$ ,

$$\int_{\bigcup K} [\mathbf{C}e(u) : e(u)]^{p/2} dx \leq \liminf_{i \rightarrow +\infty} \int_{\Omega_i \cap \bigcup K_i} [\mathbf{C}e(u) : e(u)]^{p/2} dx.$$

**mais a-t-on**

$$\mathcal{H}^{N-1}(K \cap V) \leq \liminf_{i \rightarrow +\infty} \mathcal{H}^{N-1}(K_i \cap V) \quad ?$$



## Propriété d'uniforme concentration

Pour tout  $\varepsilon_0 \in (0, 1)$ , il existe  $C_0 = C_0(\varepsilon_0) \geq 1$  telle que...

### **Theorem (L.-Lemenant)**

*Soit  $(u, K)$  un minimiseur local de Griffith. Pour toute boule  $B(x, r)$  avec  $x \in K$ , il existe  $B(y, t) \subset B(x, r)$  avec  $y \in K$  et  $t \geq C_0^{-1}r$  tel que*

$$\mathcal{H}^{N-1}(K \cap B(y, t)) \geq (1 - \varepsilon_0)\omega_{N-1}t^{N-1},$$

où  $\omega_{N-1}$  est l'aire du disque unité de dimension  $(N - 1)$ .

## Propriété d'uniforme concentration

Pour tout  $\varepsilon_0 \in (0, 1)$ , il existe  $C_0 = C_0(\varepsilon_0) \geq 1$  telle que...

### **Theorem (L.-Lemenant)**

*Soit  $(u, K)$  un minimiseur local de Griffith. Pour toute boule  $B(x, r)$  avec  $x \in K$ , il existe  $B(y, t) \subset B(x, r)$  avec  $y \in K$  et  $t \geq C_0^{-1}r$  tel que*

$$\mathcal{H}^{N-1}(K \cap B(y, t)) \geq (1 - \varepsilon_0)\omega_{N-1}t^{N-1},$$

où  $\omega_{N-1}$  est l'aire du disque unité de dimension  $(N - 1)$ .

Si  $K_i \rightarrow K$  a la propriété d'uniforme concentration, alors  $\mathcal{H}^{N-1}$  semi-continue inférieure (DalMaso, Morel, Solimini).

## Propriété d'uniforme concentration

Pour tout  $\varepsilon_0 \in (0, 1)$ , il existe  $C_0 = C_0(\varepsilon_0) \geq 1$  telle que...

### Theorem (L.-Lemenant)

Soit  $(u, K)$  un minimiseur local de Griffith. Pour toute boule  $B(x, r)$  avec  $x \in K$ , il existe  $B(y, t) \subset B(x, r)$  avec  $y \in K$  et  $t \geq C_0^{-1}r$  tel que

$$\mathcal{H}^{N-1}(K \cap B(y, t)) \geq (1 - \varepsilon_0)\omega_{N-1}t^{N-1},$$

où  $\omega_{N-1}$  est l'aire du disque unité de dimension  $(N - 1)$ .

Si  $K_i \rightarrow K$  a la propriété d'uniforme concentration, alors  $\mathcal{H}^{N-1}$  semi-continue inférieure (DalMaso, Morel, Solimini).

**Les preuves connues pour Mumford-Shah  
ne s'adaptent pas à Griffith...**

## Résumé de la preuve : I) Estimées de type Carleson

**Estimées de Carleson.** Soit  $p \in [1, 2)$ .

En moyenne pour les boules  $B(y, t)$  avec  $y \in K \cap B(x, r)$  et  $t \in (0, r)$ ,  
la  $p$ -énergie élastique normalisée  $\omega_p(y, t)$  est petite,

où

$$\omega_p(y, t) := t^{1-2N/p} \left( \int_{B(y,t) \setminus K} |e(u)|^p dx \right)^{\frac{2}{p}}.$$

## Résumé de la preuve : I) Estimées de type Carleson

**Estimées de Carleson.** Soit  $p \in [1, 2)$ .

$$\int_{y \in K \cap B(x,r)} \int_0^r \omega_p(y, t) \frac{dt}{t} d\mathcal{H}^1(y) \leq Cr^{N-1},$$

où

$$\omega_p(y, t) := t^{1-2N/p} \left( \int_{B(y,t) \setminus K} |e(u)|^p dx \right)^{\frac{2}{p}}.$$

## Résumé de la preuve : I) Estimées de type Carleson

**Estimées de Carleson.** Soit  $p \in [1, 2)$ .

$$\int_{y \in K \cap B(x, r)} \int_0^r \omega_p(y, t) \frac{dt}{t} d\mathcal{H}^1(y) \leq Cr^{N-1},$$

où

$$\omega_p(y, t) := t^{1-2N/p} \left( \int_{B(y, t) \setminus K} |e(u)|^p dx \right)^{\frac{2}{p}}.$$

**Consequence :** pour tout  $\varepsilon_0 > 0$ , il existe  $C_0 = C_0(\varepsilon_0) \geq 1$  telle que

$$\exists y \in K \cap B(x, r) \text{ et } t \in (C_0^{-1}r_0, r_0) \text{ satisfaisant} \\ \omega_p(y, t) \leq \varepsilon_0,$$

**Idée : en régime de petite énergie élastique, la fracture se comporte comme un ensemble minimal (film de savon) et donc a une densité  $\gtrsim 1$ .**

## Résumé de la preuve : II) lien avec les films de savon

**Idée : en régime de petite énergie élastique, la fracture se comporte comme un ensemble minimal (film de savon) et donc a une densité  $\gtrsim 1$ .**

Pour tout  $\varepsilon > 0$ , il existe  $\varepsilon_0 = \varepsilon_0(\varepsilon) > 0$  tel que...

### Lemma

*Soit  $(u, K)$  un minimiseur local de Griffith. Pour toute boule  $B(x, r)$  avec  $x \in K$ , si*

$$\omega_p(x, r) \leq \varepsilon_0,$$

*then*

$$\mathcal{H}^{N-1}(K \cap B(x, r)) \geq (1 - \varepsilon)\omega_{N-1}r^{N-1},$$

*où  $\omega_{N-1}$  est l'aire du disque unité de dimension  $N - 1$ .*



## Résumé de la preuve : II) lien avec les films de savon

- On procède par contradiction : disons que  $(u_i, K_i)$  est une suite dans  $B(0, 1)$  telle que

$$\omega^i(0, 1) := \int_{B(0,1)} |e(u_i)|^p dx \rightarrow 0$$

mais

$$\mathcal{H}^{N-1}(K_i) \leq (1 - \varepsilon)\omega_{N-1}.$$

## Résumé de la preuve : II) lien avec les films de savon

- On procède par contradiction : disons que  $(u_i, K_i)$  est une suite dans  $B(0, 1)$  telle que

$$\omega^i(0, 1) := \int_{B(0,1)} |e(u_i)|^p dx \rightarrow 0$$

mais

$$\mathcal{H}^{N-1}(K_i) \leq (1 - \varepsilon)\omega_{N-1}.$$

- Extraire  $(u_i, K_i) \rightarrow (u, K)$  et  $\mathcal{H}^{N-1} \llcorner K_i \rightarrow \mu$ .

## Résumé de la preuve : II) lien avec les films de savon

- On procède par contradiction : disons que  $(u_i, K_i)$  est une suite dans  $B(0, 1)$  telle que

$$\omega^i(0, 1) := \int_{B(0,1)} |e(u_i)|^p dx \rightarrow 0$$

mais

$$\mathcal{H}^{N-1}(K_i) \leq (1 - \varepsilon)\omega_{N-1}.$$

- Extraire  $(u_i, K_i) \rightarrow (u, K)$  et  $\mathcal{H}^{N-1} \llcorner K_i \rightarrow \mu$ .
- But : montrer que  $\mu \geq \mathcal{H}^{N-1} \llcorner K$  et que  $K$  est un ensemble minimal.**

## Résumé de la preuve : II) lien avec les films de savon

Afin d'avoir  $\mu \geq \mathcal{H}^{N-1} \llcorner K$ , il suffit de montrer que

$$\text{pour p.t. } x \in K \quad \limsup_{r \rightarrow 0} \frac{\mu(B(x, r))}{\omega_{N-1} r^{N-1}} \geq 1.$$

## Résumé de la preuve : II) lien avec les films de savon

Afin d'avoir  $\mu \geq \mathcal{H}^{N-1} \llcorner K$ , il suffit de montrer que

$$\text{pour p.t. } x \in K \quad \limsup_{r \rightarrow 0} \frac{\mu(B(x, r))}{\omega_{N-1} r^{N-1}} \geq 1.$$

- On montre que la limite  $K$  est rectifiable.

## Résumé de la preuve : II) lien avec les films de savon

Afin d'avoir  $\mu \geq \mathcal{H}^{N-1} \llcorner K$ , il suffit de montrer que

$$\text{pour p.t. } x \in K \quad \limsup_{r \rightarrow 0} \frac{\mu(B(x, r))}{\omega_{N-1} r^{N-1}} \geq 1.$$

- On montre que la limite  $K$  est rectifiable.
- Il suit que pour  $\mathcal{H}^{N-1}$ -p.t.  $x \in K$ , pour tout  $\varepsilon > 0$ , il existe  $r > 0$  et un hyperplan  $P$  passant par  $x$  tel que

$$K \cap B(x, r) \subset \{ \text{dist}(\cdot, P) \leq \varepsilon r \}.$$

## Résumé de la preuve : II) lien avec les films de savon

Afin d'avoir  $\mu \geq \mathcal{H}^{N-1} \llcorner K$ , il suffit de montrer que

$$\text{pour p.t. } x \in K \quad \limsup_{r \rightarrow 0} \frac{\mu(B(x, r))}{\omega_{N-1} r^{N-1}} \geq 1.$$

- On montre que la limite  $K$  est rectifiable.
- Il suit que pour  $\mathcal{H}^{N-1}$ -p.t.  $x \in K$ , pour tout  $\varepsilon > 0$ , il existe  $r > 0$  et un hyperplan  $P$  passant par  $x$  tel que

$$K_i \cap B(x, r) \subset \{ \text{dist}(\cdot, P) \leq \varepsilon r \} \quad \text{et} \quad \omega_\rho^i(x, r) \leq \varepsilon.$$

pour  $i$  assez grand.

## Résumé de la preuve : II) lien avec les films de savon

Afin d'avoir  $\mu \geq \mathcal{H}^{N-1} \llcorner K$ , il suffit de montrer que

$$\text{pour p.t. } x \in K \quad \limsup_{r \rightarrow 0} \frac{\mu(B(x, r))}{\omega_{N-1} r^{N-1}} \geq 1.$$

- On montre que la limite  $K$  est rectifiable.
- Il suit que pour  $\mathcal{H}^{N-1}$ -p.t.  $x \in K$ , pour tout  $\varepsilon > 0$ , il existe  $r > 0$  et un hyperplan  $P$  passant par  $x$  tel que

$$K_i \cap B(x, r) \subset \{ \text{dist}(\cdot, P) \leq \varepsilon r \} \quad \text{et} \quad \omega_\rho^i(x, r) \leq \varepsilon.$$

pour  $i$  assez grand.

- **Est-ce que cela implique**

$$\mathcal{H}^{N-1}(K_i \cap B(x, r)) \geq (1 - \varepsilon) \omega_{N-1} r^{N-1} \quad ?$$



## Résumé de la preuve : III) une estimation directe par slicing

Pour tout  $\varepsilon > 0$ , il existe  $\varepsilon_1 = \varepsilon_1(\varepsilon) > 0$  tel que...

### Lemma

Soit  $(u, K)$  un minimiseur local de Griffith. Pour tout boule  $B(x, r)$  avec  $x \in K$ , si

$$K \cap B(x, r) \subset \{ \text{dist}(\cdot, P) \leq \varepsilon_1 r \} \quad \text{and} \quad \omega_p(x, r) \leq \varepsilon_1,$$

alors

$$\mathcal{H}^{N-1}(K \cap B(x, r)) \geq (1 - \varepsilon) \omega_{N-1} r^{N-1},$$

où  $\omega_{N-1}$  est l'aire du disque unité de dimension  $N - 1$ .

## Résumé de la preuve : III) une estimation directe par slicing

Pour tout  $\varepsilon > 0$ , il existe  $\varepsilon_1 = \varepsilon_1(\varepsilon) > 0$  tel que...

### Lemma

Soit  $(u, K)$  un minimiseur local de Griffith. Pour tout boule  $B(x, r)$  avec  $x \in K$ , si

$$K \cap B(x, r) \subset \{ \text{dist}(\cdot, P) \leq \varepsilon_1 r \} \quad \text{and} \quad \omega_P(x, r) \leq \varepsilon_1,$$

alors

$$\mathcal{H}^{N-1}(K \cap B(x, r)) \geq (1 - \varepsilon) \omega_{N-1} r^{N-1},$$

où  $\omega_{N-1}$  est l'aire du disque unité de dimension  $N - 1$ .

**Démonstration :** Argument de slicing en utilisant

$$\frac{d}{dt} [u(x + te_N) \cdot e_N] = (e(u)(x + te_N) e_N) \cdot e_N.$$